多种金属有机框架材料的荧光淬灭-恢复性能研究

徐奥,韦宇新,施润呈,孙璇*

(湖北中医药大学 基础医学院,湖北 武汉 430056)

摘要:金属有机框架(Metal-organic frameworks, MOFs)作为一种新型多孔晶体材料受到广泛关注,旨在研究其作为生物传感原件中的荧光淬灭-恢复性能。ZIF-8、MIL-101(Fe)、MIL-101(Cr)、UIO-66、2D-pMOFs 5 种 MOFs 材料分别采用溶剂热法进行化学合成,然后分别与荧光探针、互补 DNA 孵育研究其荧光强度变化,并测定反应液在 485 nm 激发波长下的荧光强度值。ZIF-8、MIL-101(Fe)、MIL-101(Cr)几乎无荧光淬灭-恢复活性,2D-pMOFs 具有一定的荧光淬灭-恢复效率,UIO-66 的荧光淬灭-恢复效率最强。UIO-66 的荧光淬灭特性源于金属离子锆的光诱导电子转移效应;而荧光恢复能力来自其结构上的多孔性。UIO-66 通过对 DNA 的吸附/解吸实现 DNA 探针的荧光淬灭/恢复,在生物传感领域显示出巨大的应用潜力。

关键词:金属有机框架(MOFs);荧光淬灭;荧光恢复;荧光探针;纳米材料

中图分类号:065 文献标识码:A 文章编号:0258-3283(2025)01-0033-06

DOI: 10.13822/j.cnki.hxsj.2024.0407

Study of Fluorescence Quenching-Recovery Properties of a Variety of Metal-Organic Framework Materials XU Ao, WEI Yuxin, SHI Run-cheng, SUN Xuan* (School of Basic Medical Sciences, Hubei University of Chinese Medicine, Wuhan 430056, China) Abstract: Metal-Organic Frameworks (MOFs) has attracted widespread attention as a new type of porous crystal material. The aim of this study is to investigate its fluorescence quenching-recovery performance as a biosensor. ZIF-8, MIL-101 (Fe), MIL-101 (Cr), UIO-66, and 2D-pMOFs were synthesized by solvothermal method, and then incubated them with fluorescent probes and complementary DNA to study their fluorescence intensity changes. ZIF-8, MIL-101 (Fe) and MIL-101 (Cr) had almost no fluorescence quenching-recovery activity, 2D-pMOFs had certain fluorescence quenching-recovery efficiency, and UIO-66 had the strongest fluorescence quenching-recovery efficiency. The fluorescence quenching properties of UIO-66 were derived from the photoinduced electron transfer (PET) effect of zirconium metal ions. The fluorescence recovery ability comed from its structural porosity. UIO-66 realized fluorescence quenching/recovery of DNA probes through adsorption/desorption of DNA, and showed great application potential in the field of biosensor.

Key words: metal-organic frameworks (MOFs); fluorescence quenching; fluorescence recovery; fluorescent probe; nanomaterials

金属有机框架(Metal-organic frameworks,MOFs)作为一类独特的多孔复合材料,通过共轭芳香族化合物有机连接金属离子或团簇自组装形成,巧妙融合了无机材料的刚性与有机材料的柔韧性及功能性^[1-3]。其显著特性包括三维精细调控的孔隙结构、极高的比表面积与孔容积、杂化网络带来的稳定性、以及易于进行功能化修饰与化学性质的灵活调控^[4-6]。鉴于上述优越性能,MOFs 在多个科学与工程领域展现出广泛的应用前景,包括高效气体存储分离、多相催化反应体系、生物传感技术及精准药物递送系统等^[7-10]。MOFs 材料中富含的 π 电子与 n 电子(即孤对电子)结构,赋予了其可调控荧光信号的能力,这一特性使 MOFs 成为构建高性能荧光生物传感器中极具潜力的候选材料之一^[11,12]。

石墨烯等传统纳米材料能够通过疏水作用和 π - π 堆叠,吸附荧光基团标记的单链 DNA(Single-stranded DNA,ssDNA),并产生基于荧光共振能量转移的荧光淬灭[13,14]。MOFs 作为新型纳米材

料,同样展现出在一定距离内吸附荧光探针(Fluorescent probe,FP)并淬灭其荧光的能力。然而,当向体系中引入荧光探针的互补 DNA (Complementary DNA,cDNA)后,FP 即从 MOFs 表面释放并与 cDNA 结合形成双链,伴随这一过程的是荧光的显著恢复(图1)。值得注意的是,不同 MOFs 材料在荧光淬灭-恢复响应上展现出差异性,暗示其内部金属离子可能参与并介导了多样化的淬灭机制,但其荧光淬灭机制尚待深入探索与明确。

收稿日期:2024-09-11;修回日期:2024-11-03

基金项目: 湖北省教育厅科学技术研究项目(Q20232008); 湖北省自然科学基金项目(2024AFB375);湖北中医药大学博士启动经费项目(2023ZXB015)。

作者简介:徐奥(2000-),男,湖北武汉人,硕士生,主要研究 方向为生物传感器、纳米生物学。

通讯作者:孙璇, E-mail: xuansun3330@ hbucm.edu.cn。

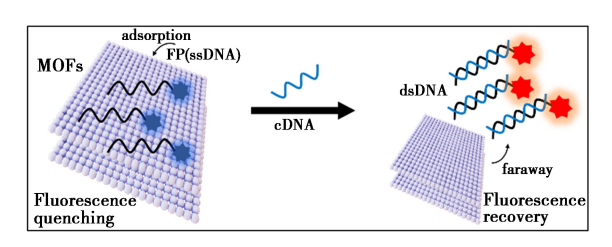


图 1 金属有机框架与荧光探针(FP)及互补 DNA 的 荧光淬灭-恢复反应原理示意图

 $\begin{tabular}{ll} Fig. 1 & Fluorescent quenching-recovery diagram of \\ metal-organic frameworks with fluorescent probe (FP) \\ & and complementary DNA \\ \end{tabular}$

MOFs 纳米材料的制备途径多样,包括微波 辅助加热、溶剂热合成、电化学法及机械化学法等 手段[15,16]。在众多方法中,溶剂热法以其经典性 与广泛性脱颖而出,成为快速制备大量 MOFs 材 料的优选方法之一。利用此法,我们成功合成了 包括 ZIF-8、MIL-101 (Fe)、MIL-101 (Cr)、UIO-66 及 2D-pMOFs 在内的多种代表性 MOFs。其中, ZIF-8、UIO-66 中的金属离子均为 Zr, 配体分别是 2-甲基咪唑和对苯二甲酸; MIL-101(Fe)、MIL-101 (Cr)的配体均为对苯二甲酸,金属离子分别是 Fe、Cr:选择上述4种材料意在全方位探究不同金 属离子和配体对荧光恢复-淬灭能力的影响。2DpMOFs 则为 2D 典型片层结构,对其进行研究意 在探索新型 2D 与 3D 材料在荧光恢复-淬灭能力 上的区别。本文聚焦于这 5 种 MOFs 材料的荧光 性能探索,通过系统性地比较它们的荧光淬灭-恢 复能力,深入剖析了荧光淬灭的机制与来源。此 研究不仅为理解 MOFs 材料的荧光行为提供了新 视角,还为荧光生物传感器的创新设计与开发奠 定坚实的实验基础与理论支持。最终目标是开发 出一种集高灵敏度、快速响应、高度准确性与良好 稳定性于一体的新型检测技术,以应对生物分析 领域的多样化需求。

1 实验部分

1.1 主要仪器与试剂

Sigma 500 型场发射扫描电子显微镜(德国蔡司公司); F97 型荧光分光光度计(上海棱光公司); WJL-602 型激光粒度分析仪(上海仪电物光公司); EDAA-2300T 型超声波清洗器(上海安谱实验科技有限公司); GW-300L40B 型电热鼓风干燥箱、ZK-250L24A 型真空干燥箱(北京赛欧华创科技公司); TGL-16M 型台式高速冷冻离心机(湖南湘仪实验室仪器开发公司); GFK-5 MPa-100

mL IPPL 型防爆水热合成反应釜(上海勒茗生物科技公司)。

本实验所使用的 DNA 序列(表 1,上海生工生物工程有限公司);2-甲基咪唑、聚乙烯吡咯烷酮、乙酸、三氟乙酸、对苯二甲酸、三水合硝酸铜、氯化锆、六水合硝酸锌、六水合氯化铁、浓硫酸、甲醇、九水合硝酸铬、N,N-二甲基甲酰胺(DMF)、无水乙醇(上海阿拉丁生化科技股份有限公司);四羧基苯基卟啉铁(TCPP-Fe,上海麦克林生化科技有限公司);PBS 磷酸盐缓冲液干粉(北京索莱宝科技有限公司)。所以试剂均为分析纯,所有实验用水均为试验室自制去离子水。

表 1 DNA 序列 **Tab.1** Sequence of DNA

Name	DNA sequence(5' to 3')
FP	CATCCTGATAAAGAACAGCAACC-FAM
cDNA	GGTTGCTGTTCTTTATCAGGATG

1.2 实验方法

1.2.1 化合物合成

ZIF-8的合成:将 5 mL(7.5 mmol/L)的 2-甲基咪唑甲醇溶液缓慢逐滴加入至等体积(5 mL)且浓度相同的六水合硝酸锌溶液中,随后在 50 ℃恒温条件下加热搅拌反应 2 h。反应结束后,通过离心分离并充分洗涤产物,以去除未反应物及副产物。将处理后的产物置于真空干燥箱内,于60 ℃条件下干燥 2 h,最终获得纯净的白色粉末状 ZIF-8 晶体。

MIL-101(Fe)的合成:将 1.08 g 六水合氯化铁与 0.67 g 对苯二甲酸溶解于 40 mL DMF 中,通过超声处理确保完全溶解后,将混合溶液转移至高压反应釜内。随后,在 150 ℃的恒温条件下加热 10 h。反应结束后,通过离心分离并彻底洗涤产物,以去除未反应物及杂质。将所得产物置于真空干燥箱中于 60 ℃下干燥 2 h,最终制得砖红色粉末状 MIL-101(Fe)材料。

MIL-101(Cr)的合成:将 2.0 g 九水合硝酸铬 与 0.83 g 对苯二甲酸共同溶解于 20 mL DMF 中,通过超声处理加速溶解过程。随后,将所得溶液 转移至反应釜内,在 150 ℃条件下加热 10 h。反应完成后,通过离心分离产物,并进行充分洗涤以去除残留物。将处理后的产物置于真空干燥箱中于 60 ℃下干燥 24 h,最终制得绿色粉末状 MIL-101(Cr)材料。

UIO-66的合成:将18.65 mg 氯化锆、13.29 mg 对苯二甲酸和1.20 mL 乙酸溶解于10 mL DMF中,通过超声处理促进完全溶解。随后,将混合溶液转移至反应釜,在120℃条件下加热8h。反应结束后,通过离心分离产物并进行彻底洗涤,以去除杂质。最后将产物置于真空干燥箱中于60℃下干燥24h,获得白色粉末状UIO-66材料。

2D-pMOFs 的合成:将 5 mg TCPP(Fe)溶于 4 mL V(DMF):V(Z醇)=3:1的混合溶液,然后将其滴加至含有 10 mg 三水合硝酸铜、10 μL 三氟乙酸和 10 mg 聚乙烯吡咯烷酮的 4 mL V(DMF):V(Z醇)=3:1溶液中。超声 10 min 溶解后,将上述混合物转移至反应釜中,在 80 ℃下加热反应 15 h。离心洗涤后将深棕色产物 2D-pMOFs 溶于无水乙醇保存。

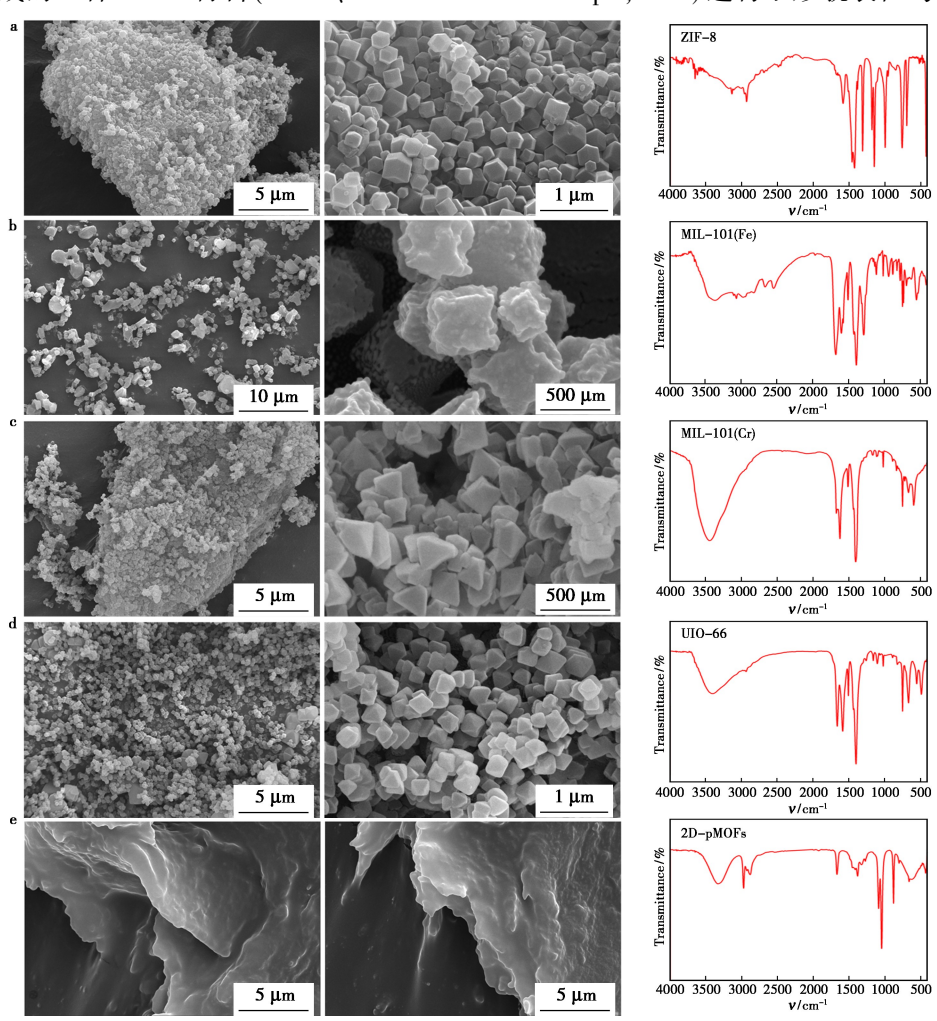
1.2.2 MOFs 材料的荧光淬灭-恢复实验 上述合成的 5 种 MOFs 材料(ZIF-8、MIL-101

(Fe)、MIL-101(Cr)、UIO-66、2D-pMOFs)的工作浓度均为 0.2 mg/mL。将 5 种 MOFs 材料分别与 20 μmol/L 的 FP 探针在 PBS 缓冲液(0.01 mol/L, pH 7.5)中于室温混合 20 min,测定荧光淬灭强度;将 MOFs 材料-FP 探针复合溶液与 40 μmol/L 的 cDNA 混合,并在室温下振荡 20 min,并测定荧光恢复强度。将荧光分光光度计的参数设置为激发波长 485 nm、发射起始波长 510 nm、发射终止波长 600 nm、激发带宽 10 nm 及增益 850 V。

2 结果与讨论

2.1 MOFs 材料合成及表征研究

我们首先完成了 ZIF-8、MIL-101 (Fe)、MIL-101 (Cr)、UIO-66 及 2D-pMOFs 这 5 种 MOFs 材料的化学合成,并采用扫描电子显微镜(Scanning electron microscope, SEM)进行了形貌表征与分析。如图 2



a.ZIF-8;b.MIL-101(Fe);c.MIL-101(Cr);d.UIO-66;e.2D-pMOFs

图 2 5种 MOFs 材料的扫描电镜(SEM)与傅里叶变换红外光谱(FT-IR)分析

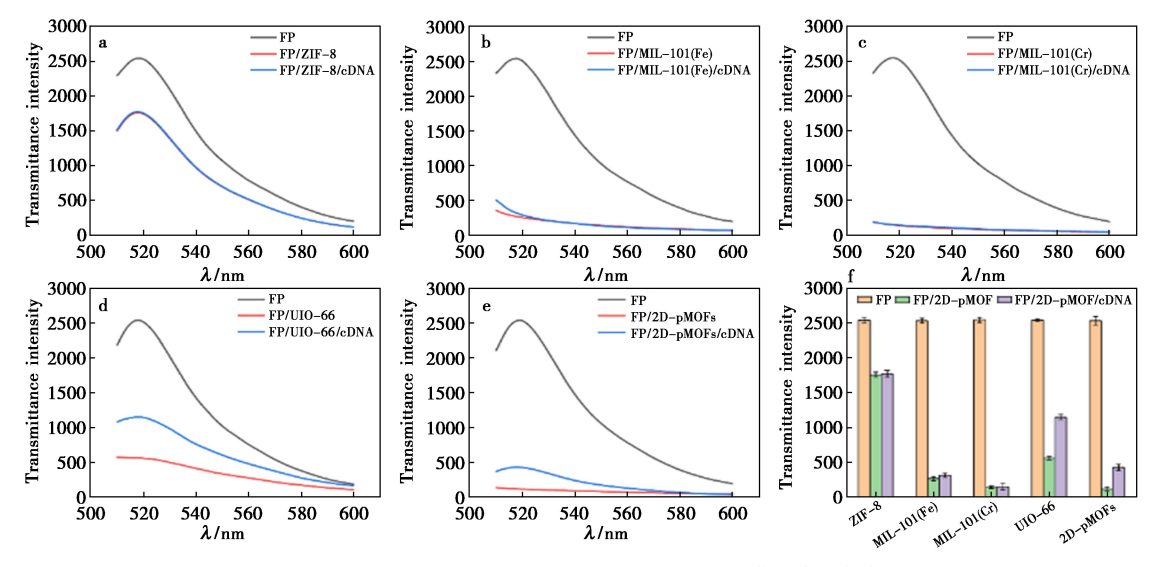
Fig.2 Scanning electron microscopy (SEM) and fourier transform infrared spectroscopy (FT-IR) analysis of 5 MOFs materials

所示, ZIF-8、MIL-101(Fe)、MIL-101(Cr)及 UIO-66 均为立方体结构,表面光滑,粒径均一,形状规则,分散均匀;相比之下, 2D-pMOFs 则呈现出显著的二维片状结构特点。然后,通过傅里叶变换红外光谱(Fourier transform infrared spectrometer, FT-IR)分析, ZIF-8、MIL-101(Fe)、MIL-101(Cr)、UIO-66、2D-pMOFs 与已报道^[17-21]的标准图谱基本一致(图 2),验证了 5 种 MOFs 材料的成功制备。

2.2 MOFs 材料的荧光淬灭-恢复效率研究

本研究系统地探索了 ZIF-8、MIL-101(Fe)、MIL-101(Cr)、UIO-66、2D-pMOFs 5 种 MOFs 材料与 FP 探针的相互作用机制。首先,将这些 MOFs 材料分别与 FP 进行孵育处理,随后通过光谱分

析,得到了荧光淬灭曲线。为了评估 MOFs 在 cDNA 存在下的响应能力,将上述 MOFs-FP 复合物与 cDNA 震荡混匀,紧接着测定了相应的荧光恢复曲线(图 3a~3e)。以上所有测定均在发射波长为518 nm 的条件下进行,以确保数据的一致性和可比性。如图 3f 所示,ZIF-8 对 FP 探针的荧光淬灭效率相对较低,且在加入 cDNA 后未观察到显著的荧光恢复现象,表明其在此体系中的荧光调控能力有限。相比之下,MIL-101(Fe)与 MIL-101(Cr) 虽展现出强劲的荧光淬灭能力,但同样缺乏针对 cDNA 的荧光恢复特性,这可能源于其结构特性阻碍了 FP 探针与 cDNA 相互作用。



a~e.ZIF-8、MIL-101(Fe)、MIL-101(Cr)、UIO-66、2D-pMOFs 荧光淬灭-恢复曲线; f.5 种 MOFs 材料的荧光淬灭-恢复强度对比

1.5年 1.615 初年的人为日本 1.515 4.515

图 3 5种 MOFs 材料的荧光淬灭-恢复性能分析

Fig.3 Analysis of fluorescence quenching-recovery performance of 5 MOFs materials

值得注意的是,UIO-66 与 2D-pMOFs 不仅表现出了较强的荧光淬灭效应,还在 cDNA 存在下展现出了明显的荧光恢复活性,这一特性在生物传感和分子识别领域具有潜在的应用价值。为了量化评估材料的荧光调控效率,计算了每种材料的 ΔF 值(ΔF 定义为 F 恢复与 F 淬灭之差, F 代表荧光强度值)。如图 4 所示, UIO-66 在此评价体系中展现出了最高的荧光淬灭-恢复效率,而 2D-pMOFs 也表现出了一定的荧光淬灭-恢复能力。相比之下, ZIF-8、MIL-101(Fe)以及 MIL-101(Cr)则几乎未表现出荧光淬灭-恢复活性,表明它们在特定场景应用的局限性。通过上述结果,不仅揭示了不同 MOFs 材料在荧光鸿控方面的差异,还初步筛选出了具有优异荧光淬灭-恢复特性

的 UIO-66 与 2D-pMOFs, 为后续的生物传感、药物释放及分子识别等领域的深入研究提供了参考价值。

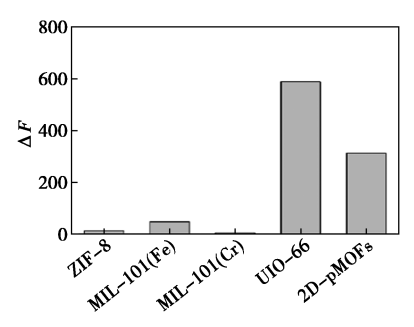


图 4 5 种 MOFs 材料的荧光淬灭-恢复效率分析 Fig.4 Efficiency analysis of fluorescence quenching-recovery property of 5 MOFs materials

2.3 UIO-66 的荧光淬灭-恢复机制研究

为了深入探究 UIO-66 材料所展现的荧光淬 灭-恢复现象的内在机制,将 UIO-66、其关键合成 原料——氯化锆和对苯二甲酸,分别与 FP 探针 及 cDNA 孵育,随后精确测量并记录各自的荧光 强度变化。在此基础上荧光淬灭效率(Q)与荧光 恢复效率 (R) 分别定义为 $Q = (1 - F_{\text{pag}}/F_{\text{high}}) \times$ 100%与 $R = (F_{\text{恢复}}/F_{\text{淬灭}}-1) \times 100\%$,以量化评估 这些材料在荧光调控方面的表现(表2)。实验结 果表明,氯化锆单独作用时展现出卓越的荧光淬 灭能力,却未能观察到荧光恢复现象,表明其是 UIO-66 荧光淬灭特性的主要贡献者。而对苯二 甲酸则未对荧光强度产生显著影响,既无淬灭也 无恢复效应。结合已有文献报道, Zr4+能够介导 光诱导电子转移(Photo induced electron transfer, PET)过程,从而有效引发荧光淬灭[22,23],这一发 现为 UIO-66 的荧光淬灭机制提供了有力支持。

表 2 UIO-66 的荧光淬灭-恢复效率比较

Tab.2 Comparison of fluorescence quenching-recovery recovery efficiency of UIO-66

	ZrCl ₄	$C_8H_6O_4$	UIO-66
Fluorescence quenching efficiency/(Q ,%)	63. 81	1. 95	75. 08
Fluorescence recovery efficiency/(R,%)	5. 42	1. 33	94. 66

为了探究 UIO-66 荧光恢复现象的潜在机制, 排除了其直接源于氯化锆或对苯二甲酸化学成分 变化的可能性,转而聚焦于 UIO-66 独特的多孔结 构特性。基于这一假设,推测 UIO-66 的荧光恢复 能力可能与其多孔结构对 DNA 分子的吸附与解 吸过程密切相关。为了验证上述假设,采用了 Zeta 电位技术,以探究 UIO-66 在荧光淬灭-恢复 过程中的表面电荷变化。如图 5 所示, UIO-66、 UIO-66/FP 复合物以及 UIO-66/FP/cDNA 体系的 Zeta 电位均为负值,且呈现出特定的变化趋势。 具体而言,UIO-66 与 FP 探针结合后,Zeta 电位值 显著增大,这一变化表明 UIO-66 成功吸附了带负 电荷的 ssDNA 分子。而当体系中引入 cDNA 形 成双链 DNA 后,构象更为稳定且因空间位阻效应 而远离 UIO-66 表面,导致 Zeta 电位值有所减小。 这一发现验证了上述的假设,即 UIO-66 的荧光恢 复特性与其多孔结构对 DNA 的吸附/解吸作用紧 密相关。同时,相关研究表明[24-27],2D-pMOFs的 淬灭/恢复机理与 UIO-66 类似,即 2D-pMOFs 材 料的片层结构也介导了 DNA 的吸附/解吸。但 UIO-66 与 2D-pMOFs 的荧光恢复能力存在差异,原因可能在于 3D 材料本身相较于层层堆积的 2D 材料而言,具有更大的比表面积优势。上述研究为理解 MOFs 材料在生物分子识别与传感领域的应用机制提供了新的视角。

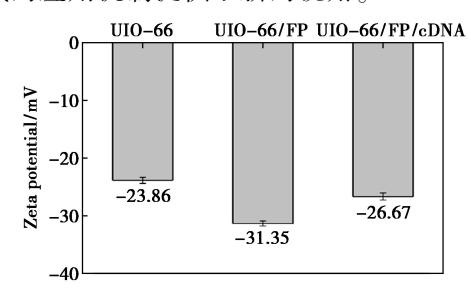


图 5 UIO-66、UIO-66/FP、UIO-66/FP/cDNA的 Zeta 电位分析

Fig.5 Zeta potential analysis of UIO-66, UIO-66/FP, and UIO-66/FP/cDNA

3 结论

本文采用溶剂热合成技术,成功制备了包括 ZIF-8、MIL-101(Fe)、MIL-101(Cr)、UIO-66 以及 2D-pMOFs 在内的 5 种 MOFs 材料,并系统性地评估了它们的荧光淬灭-恢复性能。实验结果显示, ZIF-8、MIL-101(Fe)与 MIL-101(Cr) 3 者几乎未展现出显著的荧光淬灭-恢复活性,而 2D-pMOFs则表现出一定程度的荧光调控能力。尤为突出的是,UIO-66 材料在荧光淬灭-恢复效率方面表现出最为优异的性能。

深入探究发现 UIO-66 的卓越荧光淬灭特性可归因于其化学结构中 Zr⁴⁺所介导的 PET 效应。同时,其荧光恢复能力则与材料本身的多孔性结构密切相关,该结构为 DNA 分子的有效吸附与解吸提供了必要的空间与界面作用,从而实现了对探针荧光强度的动态调控。因此,UIO-66 材料通过其对 DNA 的特异性吸附与解吸过程,实现了荧光信号的淬灭与恢复,展现出了在分子识别与传感领域的巨大潜力。

参考文献:

- [1] Lee S J, Telfer S G. Angew. Chem. Intern. Ed., 2023, 135(44); e202 306 341.
- [2] Khan M S, Leong Z Y, Li D S, Qiu J, Xu X, Yang H Y. Nanoscale, 2023, 15(39):15 929-15 949.
- [3] Li R, Chen T, Pan X. ACS Nano, 2021, 15(3): 3 808-3 848.

- [4] Xin R, Wang C, Zhang Y, Peng R, Li R, Wang J, Mao Y, Zhu X, Zhu W, Kim M, Nam H N, Yamauchi Y. ACS Nano, 2024, 18(30):19 403-19 422.
- [5] Zhu F, Chai Q, Xiong D, Zhu N, Zhou J, Wu R, Zhang Z. Biosensors, 2024, 14(6):273.
- [6] Mondal P, Neuschuler Z, Mandal D, Hernandez R E, Cohen S M. Angew. Chem. Intern. Ed., 2024, 63(9): e202 317 062.
- [7] Yan Y, Ni M, Wang F, Yu Y, Gong X, Huang Y, Tao W, Li C, Wang F. ACS Nano, 2022, 16(9):15 175-15 187.
- [8] Kong L, Lv S, Qiao Z, Yan Y, Zhang J, Bi S. Biosens. Bioelectron., 2022, 207;114–188.
- [9] Wei Z Q, Zhang H Y, Yang C Y, Zhang D, Xu F, Cao H. Chin. J. Anal. Lab., 2023, 42(9):1 267-1 278. 魏子奇, 张涵瑜, 杨昌颖, 张东, 徐斐, 曹慧. 分析试验室, 2023, 42(9):1 267-1 278.
- [10] Zhao Y M, Tan W Q, Guan J, Li Y J, Ma X Y, Chai H N. Chem. Reagents, 2023, 45(1):75-84. 赵一鸣, 谭伟强, 关静, 李钰杰, 马雨欣, 柴会宁. 化学试剂, 2023, 45(1):75-84.
- [11] Wu S, Min H, Shi W, Cheng P. Adv. Mater., 2020, 32(3):1 805 871.
- [12] Dou X, Wu G, Ding Z, Xie J. Food Chem., 2023, 416: 135 805.
- [13] Jiang Y J, Wang N, Cheng F, Lin H R, Zhen S J, Li Y F, Li C M, Huang C Z. Anal. Chem., 2020, 92(17): 11 565-11 572.
- [14] Qaddare S. H., Salimi A. Biosens. Bioelectron., 2017, 89:

- 773-780.
- [15] Ma L, Jiang F, Fan X, Wang L, He C, Zhou M, Li S, Luo H, Cheng C, Qiu L. Adv. Mater., 2020, 32(49): 2 003 065.
- [16] Lao A, Wu J, Li D, Shen A, Li Y, Zhuang Y, Lin K, Wu J, Liu J. Small, 2023, 19(36): 2 206 919.
- [17] Bergaoui M, Khalfaoui M, Awadallah F A, Al-Muhtaseb S. J. Nat. Gas Sci. Eng., 2021, 96:104 289.
- [18] Edebali S. Appl. Surf. Sci. Adv., 2023, 18:100 496.
- [19] Kayal S, Sun B, Chakraborty A. Energy, 2015, 91: 772-781.
- [20] Winarta J, Shan B, Mcintyre S M, Ye L, Wang C, Liu J, Mu B. Cryst. Growth Des., 2019, 20(2):1 347-1 362.
- [21] Shen Y, Wu H, Luo X, Zhang H, Cheng L. J. RSC Adv., 2023, 13(39):27 283-27 291.
- [22] Sun X, Wang Y, Zhang L, Liu S, Zhang M, Wang J, Ning B, Peng Y, He J, Hu Y, Gao Z. *Anal. Chem.*, 2020, 92(4):3 032-3 041.
- [23] Chen L, Yu F, Shen X, Duan C. Chem. Commun., 2019, 55(33):4 845-4 848.
- [24] Wu P, Ye X, Wang D, Gong F, Wei X, Xiang S, Zhang J, Kai T, Ding P. *J. Haz. Mat.*, 2022, **424**; 127 690.
- [25] Yan X, Yuan Y, Yue T. Food Chem., 2024, 432: 137 211.
- [26] Lu L, Feng C, Xu J, Wang F, Yu H, Xu Z, Zhang W. Biosens. Bioelectron., 2017, 92:101-108.
- [27] Wang Y, Sun X, Zhou Y, Liu J, Zhu H, Jiang R, Miao Y, Fu Y. Food Chem., 2024, 457;140 198.